

РОССИЙСКАЯ АКАДЕМИЯ НАУК
СИБИРСКОЕ ОТДЕЛЕНИЕ

ЖУРНАЛ
СТРУКТУРНОЙ
ХИМИИ
НАУЧНЫЙ ЖУРНАЛ

Основан в 1960 г.

Выходит 6 раз в год

ТОМ 55

Сентябрь-октябрь

№ 5, 2014

СОДЕРЖАНИЕ

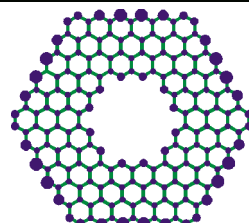
ТЕОРИЯ СТРОЕНИЯ МОЛЕКУЛ И ХИМИЧЕСКОЙ СВЯЗИ

Лузанов А.В.

845

Меры электронного распаривания для больших сопряженных систем

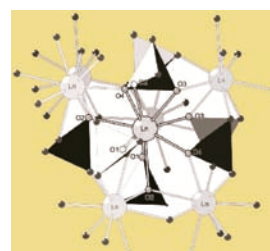
Ключевые слова: электронная корреляция, число эффективно распаренных электронов, π -оболочка, полициклические ароматические углеводороды, мегамолекулы, графен, нанопоры



Виноградова Н.С., Щапова Ю.В., Вотяков С.Л.,
Рыжков М.В., Ивановский А.Л.

855

Электронное строение и относительная радиационная стойкость ортофосфатов LnPO_4 ($\text{Ln} = \text{Ce}, \text{Nd}, \text{Sm}$)

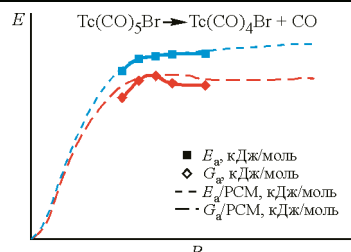


Ключевые слова: ортофосфаты LnPO_4 ($\text{Ln} = \text{Ce}, \text{Nd}$ и Sm), *ab initio* расчеты, электронное строение, химическая связь, радиационная стойкость

Мальцев Д.А., Барановский В.И.

862

Применение дискретно-континуальной модели растворителя в квантово-химическом исследовании декарбонилирования пентакарбонилбромида технеция

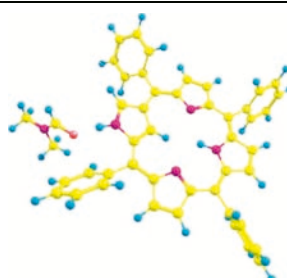


Ключевые слова: пентакарбонилбромид технеция, вариационная теория скоростей реакций, квантово-химический расчет, метод функционала плотности

Березин Д.Б., Крестьянинов М.А.

868

Структура Н-ассоциатов порфиринов, инвертированных порфириноидов и корролов с N,N-диметилформамидом



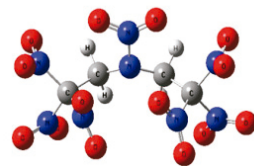
Ключевые слова: порфирин, порфириноид, коррол, инвертированный изомер порфирина, N,N-диметилформамид, Н-ассоциат, внутримолекулярная водородная связь, химическая активность NH-связи, оптимизация геометрии, NBO-анализ

ИЗДАТЕЛЬСТВО СО РАН
НОВОСИБИРСК
2014

Aghabozorgi F., Hamadanian M.

877

Theoretical investigation of heat of formation and detonation performance on 1,1,3,5,5-pentanitro-1,5-bis (difluoramino)-3-azapentane substituted

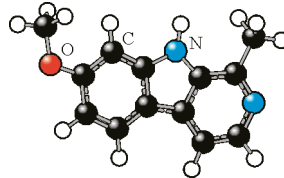


Keywords: density functional calculations, heat of formation, heat of explosion

Tahan A., Ahmadinejad N.

883

The investigation of solvent effects on the stability and ^{15}N NMR shielding of hallucinogenic Harmine using PCM model and NBO interpretation



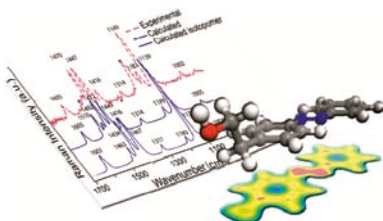
Keywords: harmine, polarized continuum model (PCM), NMR, NBO interpretation

ИССЛЕДОВАНИЕ СТРОЕНИЯ МОЛЕКУЛ ФИЗИЧЕСКИМИ МЕТОДАМИ

Minisini B., Messager G., Piyanzina I., Delorme N., Bardeau J.-F.

889

Vibrational analysis of [4-[(E)-phenylazo]phenyl]ethanol based on the comparison between experimental and DFT calculated Raman spectra

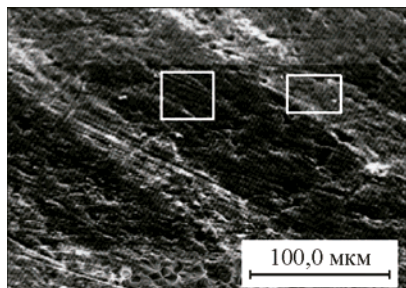


Keywords: Azo dye, DFT calculation, Raman spectra

Соколов В.В., Коротаев Е.В., Перегудова Н.Н., Кучумов Б.М., Прозоров П.А., Топякова М.В., Мазалов Л.Н., Диков Ю.П., Булеев М.И., Пичугин А.Ю., Филатова И.Ю., Бердинский А.С., Величко А.А.

898

Рентгеновские и Оже-микрозондовые исследования кристаллов слоистых дисульфидов хрома-меди, допированных ванадием



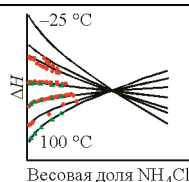
Ключевые слова: слоистые дисульфиды хрома-меди, кристаллы, Оже-микрозондовые исследования, СЭМ, EDX-анализ, РФА, включения

СТРУКТУРА ЖИДКОСТЕЙ И РАСТВОРОВ

Королёв В.П.

905

Система $\text{H}_2\text{O}-\text{NH}_4\text{Cl}$. Есть ли в термодинамике отклик на точку нуклеации?



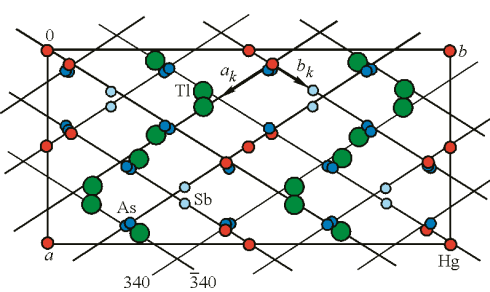
Ключевые слова: термодинамика, водный раствор, хлорид аммония

КРИСТАЛЛОХИМИЯ

Борисов С.В., Магарилл С.А., Первухина Н.В.

910

Особенности кристаллообразования в ряде структур халькогенидов с одновалентным Tl.



Эффект упорядоченной упаковки в координации Tl

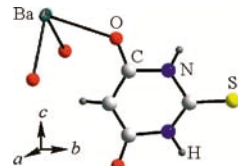
Ключевые слова: кристаллографический анализ, катионные и анионные подрешетки, Tl^+ -халькогениды, AgTlTe , врбайт (vrbaite), $\text{Hg}_3\text{Tl}_4\text{As}_8\text{Sb}_2\text{S}_{20}$, габриэлит (gabrielite), $\text{Tl}_2\text{AgCu}_2\text{As}_3\text{S}_7$, эффект упорядоченной упаковки в координации, координация Tl^+

Головнёв Н.Н., Молокеев М.С.

918

Кристаллическая структура двух 2-тиобарбитуратных комплексов бария

Ключевые слова: кристаллическая структура, тиобарбитурат бария, водородные связи, π - π взаимодействие



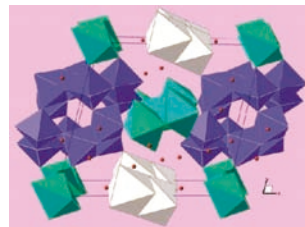
Радио С.В., Мельник Н.А., Иванцова Э.С., Баумер В.Н.

925

Кристаллическая структура двойного паравольфрамата Б натрия-меди(II)



Ключевые слова: анион паравольфрамата Б, изополивольфрамат, кристаллическая структура, ИК спектроскопия, рентгеноструктурный анализ

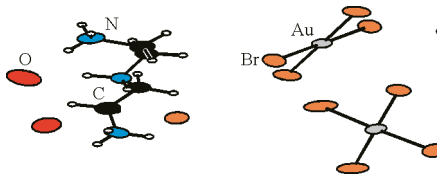


Макотченко Е.В., Байдина И.А., Корольков И.В.

933

Строение тетрабромоауратов(III) диэтилентриаммония

Ключевые слова: золото, диэтилентриаммин, комплексы, рентгеноструктурный анализ

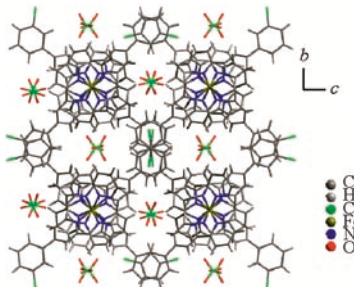


Fu W.-W., Zhang F.-X., Kuang D.-Z.

941

Crystall structures of $[\text{Fe}(m\text{-NO}_2\text{phtpy})_2](\text{ClO}_4)_2$ and $[\text{Fe}(m\text{-Clphtpy})_2](\text{ClO}_4)_2$ ($m\text{-NO}_2\text{phtpy}$ = 4'-(3-nitrophenyl)-2,2':6',2"-terpyridine and $m\text{-Clphtpy}$ = 4'-(3-chlorophenyl)-2,2':6',2"-terpyridine)

Keywords: iron(II) compound, 4'-(3-nitrophenyl)-2,2':6',2"-terpyridine, 4'-(3-chlorophenyl)-2,2':6',2"-terpyridine, crystal structure



СУПРАМОЛЕКУЛЯРНЫЕ И НАНОРАЗМЕРНЫЕ СИСТЕМЫ

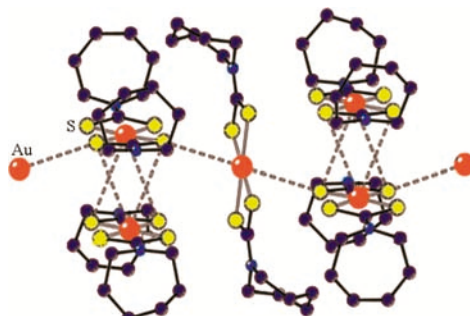
Лосева О.В., Родина Т.А., Смоленцев А.И., Иванов А.В.

947

Получение, супрамолекулярная самоорганизация и термическое поведение гетерополиядерного комплекса



Ключевые слова: диалкилдитиокарбаматы цинка со свойствами хемосорбентов, формы связывания золота из растворов, гетерополиядерные комплексы золота(III)-цинка, кристаллическая и супрамолекулярная структура, PCA, MAS ЯМР ^{13}C , синхронный термический анализ



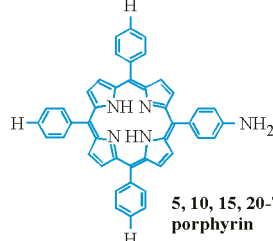
СТРУКТУРА БИОЛОГИЧЕСКИ АКТИВНЫХ СИСТЕМ

Haroon-Ur-Rashid, Naveed Umar M., Khan K., Naveed Anjum M.

956

Relaxivity measurement of new synthesized porphyrin based magnetic resonance imaging (MRI) contrast agents

Keywords: contrast agent, porphyrin, relaxivity, gadolinium, ligand

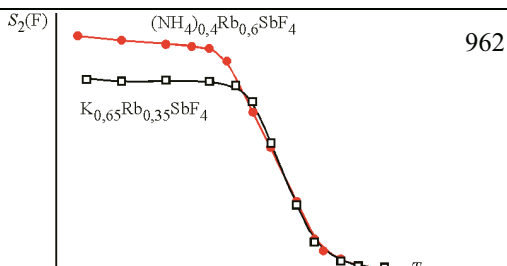


КРАТКИЕ СООБЩЕНИЯ

Кавун В.Я., Полянцев М.М., Земнухова Л.А.,
Бровкина О.В., Сергиенко В.И.

**Ионная подвижность и фазовые переходы
в соединениях $K_{0,65}Rb_{0,35}SbF_4$ и $(NH_4)_{0,4}Rb_{0,6}SbF_4$
по данным ЯМР и ДСК**

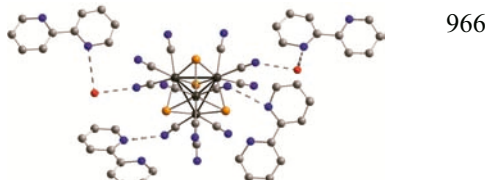
Ключевые слова: тетрафтороантимонаты(III) калия–рубидия
(аммония), ионная подвижность, фазовые переходы,
спектры ЯМР ^{19}F , 1H



Гайфулин Я.М., Смоленцев А.И., Миронов Ю.В.

**Кристаллическая структура ионного кластерного
комплекса $(2,2'-bipyH_2)_2[Re_4Se_4(CN)_{12}] \cdot (2,2'-bipy) \cdot 7H_2O$**

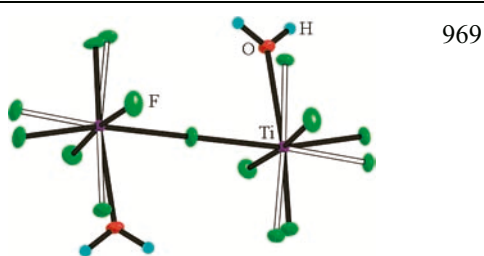
Ключевые слова: рений, кубановый кластерный комплекс,
катион бипиридилия, кристаллическая структура



Давидович Р.Л., Ткачев В.В., Логвинова В.Б.,
Костин В.И., Ставила В.

**Кристаллическая структура фторидотитаната(IV)
тетраметиламмония с димерными комплексными
анионами различного состава**

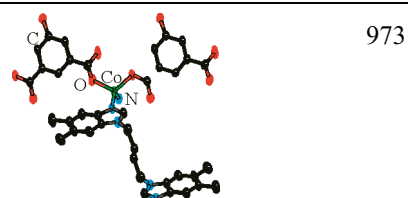
Ключевые слова: кристаллическая структура,
фторидотитанат(IV), тетраметиламмоний,
димерный комплексный анион, октаэдр, тетраэдр



Ming C.L., Du X., Qin L., Cui G.H.

Crystal structural and fluorescence properties of a two-dimensional cobaltous coordination polymer containing bis(benzimidazole) ligand

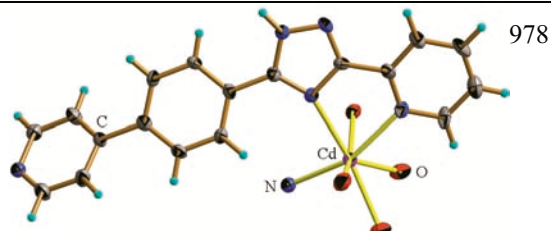
Keywords: 1,4-bis(5,6-dimethyl-benzimidazolyl)-2-butene,
Co(II) complex, crystal structure



Liu F.-L., Wang X.-P., Sun D.

**Crystal structure of a novel cadmium sulfate
coordination polymer based on multidentate
2-(3-(4-(pyridin-4-yl)phenyl)-1H-1,2,4-triazol-5-yl)
pyridine ligand**

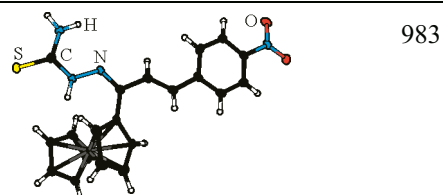
Keywords: coordination polymer, cadmium complex, sulfate
2-(3-(4-(pyridin-4-yl)phenyl)-1H-1,2,4-triazol-5-yl)pyridine



Wang N., Huo Y.

**Single crystal structure of new (Z) -2-((E)-3-(4-nitrophenyl)-1-ferrocenylallylidene)hydrazine
carbothioamide**

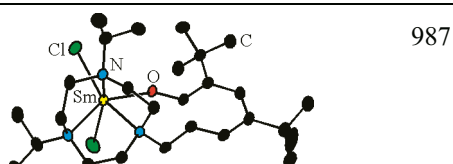
Keywords: X-ray diffraction, monoclinic symmetry,
carbothioamide, ferrocenyl



Cui J., Santos I.C., Carretas J.M.

Yttrium and samarium complexes with a linked 1,4,7-triazacyclononane-aryloxide ancillary ligand

Keywords: 1,4,7-triazacyclononane (TACN), yttrium, samarium,
synthesis, crystal structures



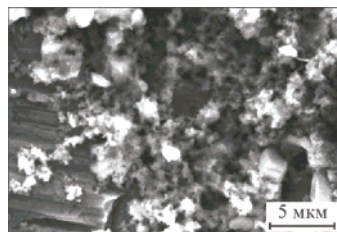
**МАТЕРИАЛЫ КОНФЕРЕНЦИИ
«МЕТОДЫ ИССЛЕДОВАНИЯ СОСТАВА И СТРУКТУРЫ
ФУНКЦИОНАЛЬНЫХ МАТЕРИАЛОВ»,
НОВОСИБИРСК, 21 – 25 ОКТЯБРЯ 2013 г.**

Измайлов Р.Р., Голованова О.А., Панова Т.В.

992

**Синтез и кристаллизация
карбонатгидроксилапатита на металлических
имплантатах**

Ключевые слова: синтез, синовиальная жидкость, титан, карбонатгидроксилапатит, обработка поверхности, мощный ионный пучок, кристаллизация

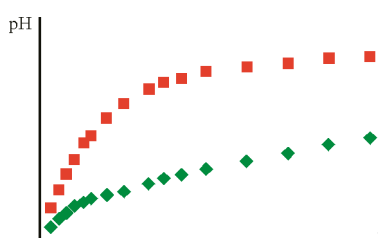


Бердинская М.В., Голованова О.А., Зайц А.В.,
Дроздов В.И., Леонтьева Н.Н., Антоничева Н.В.

1000

**Физико-химическое исследование структуры,
состава и свойств гидроксилапатита,
модифицированного силикат-ионами**

Ключевые слова: гидроксилапатит, силикат-ионы, кремнийсодержащий гидроксилапатит, внеклеточная жидкость, структура, фазовый состав, биорезорбируемость

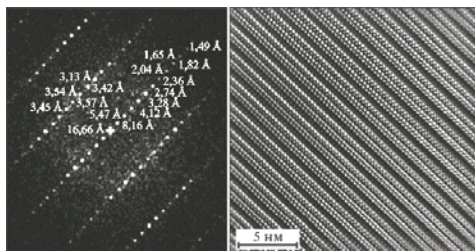


Ищенко А.В., Ищенко Е.В., Андрушкевич Т.В.

1007

**Исследование многокомпонентных MoVTe(Nb)O
катализаторов селективного превращения пропана
методами просвечивающей электронной
микроскопии**

Ключевые слова: просвечивающая электронная микроскопия, наноразмерные кристаллиты, M1 и M2 фазы, MoVTe(Nb)O-оксидные катализаторы

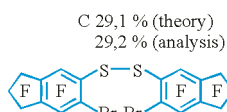


Фадеева В.П., Тихова В.Д., Дерябина Ю.М.,
Никуличева О.Н.

1017

**Определение органогенных элементов в составе
функциональных веществ и материалов**

Ключевые слова: элементный анализ, органогенные элементы, оксидно-катализитические композиции, функциональные вещества и материалы

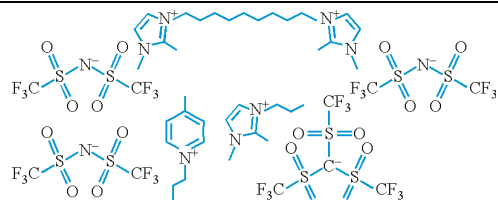


Шашков М.В., Сидельников В.Н.

1025

**Исследование характеристик пленок ионных
жидкостей методом капиллярной газовой
хроматографии**

Ключевые слова: ионные жидкости, газовая хроматография, неподвижные фазы, диффузия, загрузочная емкость



Штерцер А.А., Ульяницкий В.Ю., Батраев И.С.,
Громилов С.А., Окторуб А.В., Сапрыкин А.И.

1031

**Диагностика структуры и состава
ультрадисперсного углерода, полученного
детонационным способом**

Ключевые слова: ацетилен, кислород, детонация, углеродный конденсат, ультрадисперсные порошки, рентгенофазовый анализ, электронная микроскопия, комбинационное рассеяние, электрохимические свойства

